

Метод полуквадратичного разделения (HQS) в задаче предкомпенсации изображений

Абгарян А. А.^{1, 3} Аль-Казир Н. Б.^{2, 3}

¹МФТИ ²НИУ ВШЭ ³ИППИ РАН

15 апреля 2025

В предыдущем докладе...



Задача предкомпенсации изображений (англ. image precompensation) — это процесс программной обработки изображения, который позволяет человеку с рефракционными аномалиями, неспособному воспринимать изображение во всей его полноте, увидеть его наиболее приближенным к тому, как его воспринимает наблюдатель с идеальным зрением, при этом без изменения физических характеристик дисплея.

$$t, K \longrightarrow p \in [0, 1] : Kp \approx t$$

В предыдущем докладе...

a)



ИСХОДНОЕ
ИЗОБРАЖЕНИЕ



ВОСПРИНИМАЕМОЕ
ИЗОБРАЖЕНИЕ

б)



ИСХОДНОЕ
ИЗОБРАЖЕНИЕ



ВОСПРИНИМАЕМОЕ
ИЗОБРАЖЕНИЕ

В предыдущем докладе...

Существующие на данный момент методы предкомпенсации:

- Методы, основанные на фильтрации Виннера (Huang et al. 2014, Alonso et al. 2003, Ji et al. 2014)
- Оптимизационные методы (Montalto et al. 2015, Jumbo et al. 2021)
На данный момент показывают лучшие результаты среди существующих алгоритмов предкомпенсации (Alkzir et al. 2023)
- Нейросетевые методы (Tanaka et al. 2021, Güzel et al. 2023)

В предыдущем докладе...

Метод полуквадратичного разделения (HQS): пусть x — исходный сигнал, y — наблюдаемое значение. Рассмотрим задачу оптимизации:

$$\min_x f(\theta, x, y) + g(x)$$

Алгоритм HQS путем разделения переменных сводит эту задачу к итерационному процессу (Cheng et al. 2020):

$$z^{k+1} = \arg \min_z g(z) + \frac{\beta}{2} \|z - x^k\|_2^2$$

$$x^{k+1} = \arg \min_x f(\theta, x, y) + \frac{\beta}{2} \|z^{k+1} - x\|_2^2$$

Алгоритм широко применяется в задаче не-слепого деблюринга: как для решения задачи оптимизации (Zhao et al. 2024, Li et al. 2020), так и для нейросетевых методов (Zhang et al. 2020, Gnanasambandam et al. 2024)

Применяем HQS

Подход Монтальто заключается в формулировке задачи предкомпенсации как следующей задачи оптимизации:

$$\text{Montalto}(\mathbf{p}, \mu) := \frac{\mu}{2} \|\mathbf{Kp} - \mathbf{t}\|_2^2 + \|\nabla \mathbf{p}\| \longrightarrow \min_{\mathbf{p} \in [0,1]}$$

здесь $\|\nabla \mathbf{p}\| = \|\mathbf{D}_x \mathbf{p}\| + \|\mathbf{D}_y \mathbf{p}\|$ — полная вариация изображения \mathbf{p} . Для сравнения использовалось три реализации:

- Барьерная функция: $f(\mathbf{p}) = \tau \sum_{\alpha} [e^{\lambda \mathbf{p}_{\alpha}} + e^{\lambda(1-\mathbf{p}_{\alpha})}]$
- Алгоритм **FISTA** (Beck & Teboulle, 2009)
Использовался авторами оригинальной статьи
- Шаг **ADAM** + метод проекции градиента

Применяем HQS

Рассмотрим более общий случай, когда имеется произвольное количество N линейных фильтров $\mathcal{D} = \{\mathbf{D}_i\}_{i=1,\dots,N}$:

$$\min_{\mathbf{p} \in [0,1]} \frac{\mu}{2} \|\mathbf{K}\mathbf{p} - \mathbf{t}\|_2^2 + \sum_i \|\mathbf{D}_i \mathbf{p}\|$$

Применение алгоритма HQS для задачи предкомпенсации:

$$\min_{\mathbf{z} \in [0,1]; \mathbf{p}; \mathbf{w}} \frac{\mu}{2} \|\mathbf{K}\mathbf{p} - \mathbf{t}\|_2^2 + \sum_i \|\mathbf{w}_i\| \quad \text{s.t.} \quad \mathbf{w}_i = \mathbf{D}_i \mathbf{p} \quad \mathbf{z} = \mathbf{p}$$

В полученный функционал добавляются ограничивающие квадратичные слагаемые:

$$\min_{\mathbf{z} \in [0,1]; \mathbf{p}; \mathbf{w}} \frac{\mu}{2} \|\mathbf{K}\mathbf{p} - \mathbf{t}\|_2^2 + \frac{\beta_2}{2} \|\mathbf{z} - \mathbf{p}\|_2^2 + \sum_i \left[\frac{\beta_1}{2} \|\mathbf{w}_i - \mathbf{D}_i \mathbf{p}\|_2^2 + \|\mathbf{w}_i\| \right]$$

Применяем HQS

Теперь можно разделить переменные и проводить оптимизацию итеративно:

$$\mathbf{w}_i^{k+1} = \arg \min_{\mathbf{w}_i} \frac{\beta_1}{2} \|\mathbf{w}_i - \mathbf{D}_i \mathbf{p}^k\|_2^2 + \|\mathbf{w}_i\|$$

$$\mathbf{z}^{k+1} = \arg \min_{\mathbf{z} \in [0,1]} \frac{\beta_2}{2} \|\mathbf{z} - \mathbf{p}^k\|_2^2$$

$$\mathbf{p}^{k+1} = \arg \min_{\mathbf{p}} \frac{\mu}{2} \|\mathbf{K} \mathbf{p} - \mathbf{t}\|_2^2 + \frac{\beta_2}{2} \|\mathbf{z}^{k+1} - \mathbf{p}\|_2^2 + \sum_i \frac{\beta_1}{2} \|\mathbf{w}_i^{k+1} - \mathbf{D}_i \mathbf{p}\|_2^2$$

Применяем HQS

Получившиеся подзадачи решаются аналитически:

$$\mathbf{w}_i^{k+1} = \max \left(\left| \mathbf{D}_i \mathbf{p}^k \right| - \frac{1}{\beta_1}, 0 \right) \cdot \text{sign}(\mathbf{D}_i \mathbf{p}^k) \quad (1)$$

$$\mathbf{z}^{k+1} = \text{clip } \mathbf{p}^k = \min(\max(\mathbf{p}^k, 0), 1) \quad (2)$$

$$\mathbf{p}^{k+1} = F^{-1} \left[\frac{\beta_2 F[\mathbf{z}^{k+1}] + \mu F[\mathbf{K}]^* F[\mathbf{t}] + \sum_i \beta_1 F[\mathbf{D}_i]^* F[\mathbf{w}_i^{k+1}]}{\beta_2 + \mu F[\mathbf{K}]^* F[\mathbf{K}] + \sum_i \beta_1 F[\mathbf{D}_i]^* F[\mathbf{D}_i]} \right] \quad (3)$$

здесь $F[\cdot]$ — двумерное быстрое преобразование Фурье. Результат применения формул (1, 2, 3) n раз:

$$\mathbf{p}^* = \text{HQS-PREC}(\mathbf{t}, \mathbf{K}, \{\mathbf{D}_i\}_{i=1, \dots, N}, \mu, \beta_1, \beta_2)$$

Algorithm 1 Image precompensation using HQS

```
1: Input: source image  $t$ ; PSF  $K$ ; set of linear filters  $D_i$ ,  $i = 1, \dots, N$ ;  
   parameters  $\mu, \beta_1, \beta_2$ ; threshold  $\varepsilon$ ;  
2:  $p^0 \leftarrow t$   
3: for  $k = 0, 1, 2, \dots$  do  
4:   For all  $i$  update  $w_i^{k+1}$  according to (1)  
5:   Update  $z^{k+1}$  according to (2)  
6:   Update  $p^{k+1}$  according to (3)  
7:   if  $\|p^{k+1} - p^k\|_2 < \varepsilon$  then  
8:     return  $p^{k+1}$ 
```

Проблема: для достижения сходимости на уровне $\varepsilon = 10^{-4}$ необходимо ~ 150 итераций, что занимает много времени (~ 10 секунд на CPU, ~ 1 секунда на CUDA)

Обновление гиперпараметров

Значения гиперпараметров, визуально дающие хорошее качество предкомпенсации:

$$\mu \sim 10^{-2}; \quad \beta_1 \sim 10^{-6}; \quad \beta_2 \sim 10^{-3}$$

Нейросети USRNet (Zhang et al. 2020) и FIONet (Gnanasambandam et al. 2024), предназначенные для решения задачи не-слепого деблюринга, используют в своей архитектуре алгоритм HQS. В обоих статьях рекомендуется обновлять гиперпараметры HQS на каждом шаге итерации.

Обновление гиперпараметров

Идея: применить такой же подход к полученному алгоритму.

$$\mathbf{p}^*(\beta_2) = \text{HQS-PREC}(\mathbf{t}, \mathbf{K}, \{\mathbf{D}_i\}_{i=1,\dots,n}, \mu, \beta_1, (\beta_2^0, \dots, \beta_2^n))$$

Проблема: как подобрать параметры $\beta_2^0, \dots, \beta_2^n$? **Предложение:** обучить параметры $\beta_2^0, \dots, \beta_2^n$ на некоторой выборке, используя методы машинного обучения.

Обновление гиперпараметров

Будем добиваться лучшего качества предкомпенсации используя в качестве функции потерь метрику MS-SSIM:

$$\mathcal{L}(\beta_2) = \text{MS-SSIM}(\mathbf{Kp}^*(\beta_2), \mathbf{t})$$

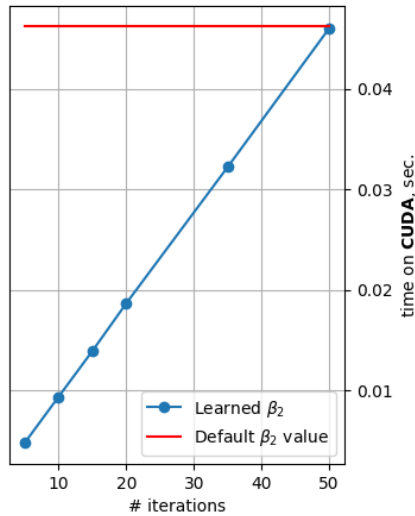
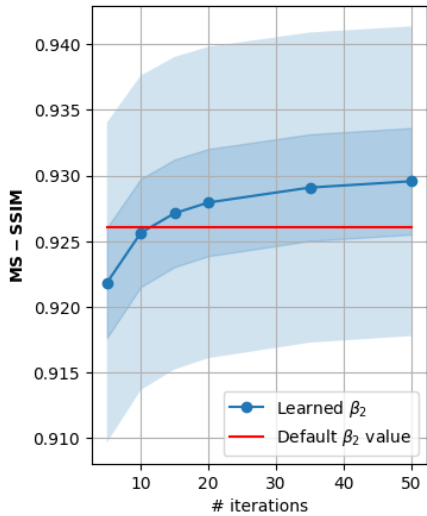
В качестве обучающей, валидационной и тестовой выборки были выбраны по 100 случайных пар изображение + ФРТ из датасета. Для обучения был выбран алгоритм оптимизации ADAM, параметр обучения $lr = 10^{-6}$, обучение проводилось на 25 эпохах.

Описание датасета

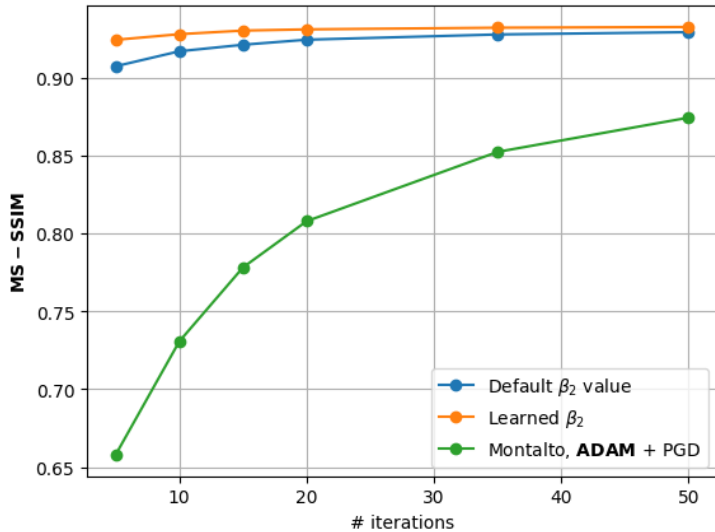
В качестве набора данных для проведения экспериментов использовалась часть датасета SCA-2023 (Alkzir et al. 2023).



Влияние количества итераций на качество



Влияние количества итераций на качество

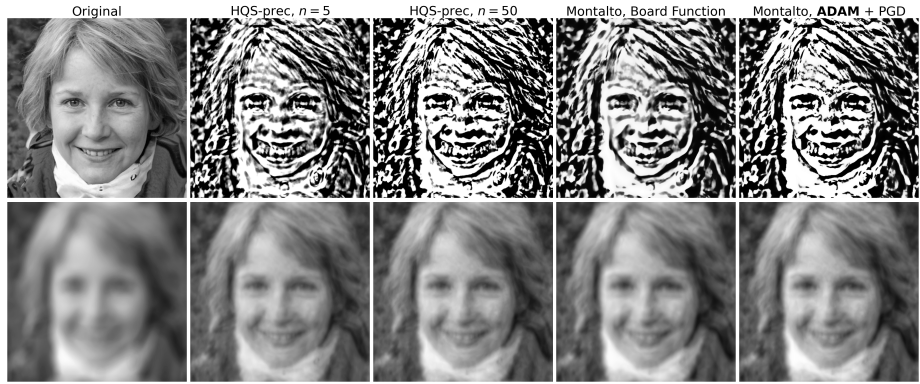


Сравнение качества и времени работы

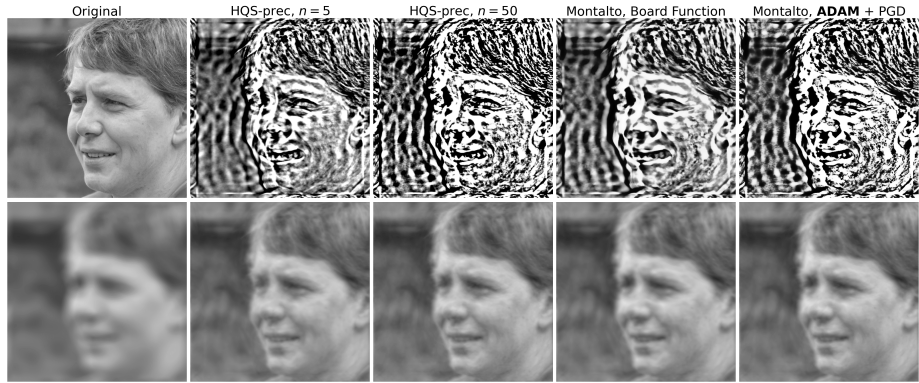
Согласно исследованию (Alkzir et al. 2024) одними из лучших метрик для оценки качества предкомпенсации являются MS-SSIM, SSIM, CORR, STRESS, NRMSE, PSNR.

Metric	HQS-PREC			MONTALTO		
	<i>n</i> = 5	<i>n</i> = 10	<i>n</i> = 15	Board Function	FISTA	ADAM + PGD
MS-SSIM	0.926	0.929	0.931	0.925	0.927	0.930
SSIM	0.870	0.877	0.879	0.870	0.873	0.879
CORR	0.979	0.980	0.980	0.980	0.980	0.981
STRESS	0.907	0.911	0.913	0.914	0.916	0.917
NRMSE	0.906	0.910	0.912	0.914	0.915	0.916
PSNR	27.359	27.861	28.070	28.381	28.553	28.674
Average time	0.006	0.011	0.015	0.299	1.006	3.927

Примеры работы алгоритма



Примеры работы алгоритма



Дальнейшие цели

- Осуществить проведение экспериментов по сравнению качества на более широкой выборке из датасета
- Провести обучение гиперпараметра β_1 по аналогии с β_2
- Встроить предложенный алгоритм в двухходовую нейросеть для предкомпенсации
- Протестировать предложенный алгоритм на видео